

СООБЩЕНИЯ  
ОБЪЕДИНЕННОГО  
ИНСТИТУТА  
ЯДЕРНЫХ  
ИССЛЕДОВАНИЙ  
ДУБНА



С 345е 3  
3 - 328

20/x - 75

9 - 9078

Н.Л.Заплатин, А.А.Кропин,  
В.С.Роганов, С.И.Чеснова

4056/2-75

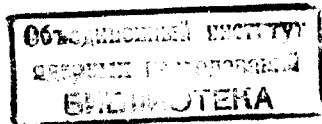
ОПТИМИЗАЦИЯ ПОЛОЖЕНИЯ  
МЕЗОНООБРАЗУЮЩЕЙ МИШЕНИ ВНУТРИ КАМЕРЫ  
ФАЗОТРОНА С ПРОСТРАНСТВЕННОЙ ВАРИАЦИЕЙ  
МАГНИТНОГО ПОЛЯ

**1975**

9 - 9078

Н.Л.Заплатин, А.А.Кропин,  
В.С.Роганов, С.И.Чеснова

ОПТИМИЗАЦИЯ ПОЛОЖЕНИЯ  
МЕЗОНООБРАЗУЮЩЕЙ МИШЕНИ ВНУТРИ КАМЕРЫ  
ФАЗОТРОНА С ПРОСТРАНСТВЕННОЙ ВАРИАЦИЕЙ  
МАГНИТНОГО ПОЛЯ



## I. ВВЕДЕНИЕ

Проектом реконструкции синхроциклотрона Лаборатории ядерных проблем ОИЯИ в сильноточный фазotron с пространственной вариацией магнитного поля /установку "Ф"/ предусматривается использование как внутренних, так и внешних мишеней для получения мезонных пучков /I/. В работах<sup>/2,3/</sup> показано, что при проектном значении протонного тока  $\sim 50$  мА в фазотроне, интенсивность мезонных пучков возрастет в 100 – 200 раз по сравнению с достигнутыми на синхроциклотроне. Система каналов установки "Ф" показана на рис. I.

Настоящая работа посвящена исследованию пучков  $\bar{\pi}$ -мезонов, образованных на внутренней мишени, выбору ее оптимальных азимутальных положений в камере ускорителя, определению энергетических спектров и интенсивности  $\bar{\pi}$ -мезонов при прямой и обратной полярности магнитного поля ускорителя.

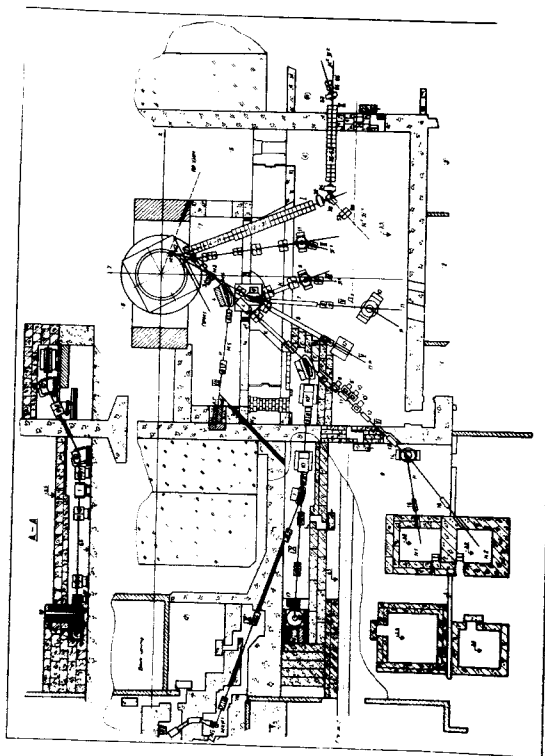
### 2. Расчет траекторий $\bar{\pi}$ -мезонов.

Расчет траекторий мезонов проводился для магнитного поля, полученного на модели магнитной системы установки "Ф" и представляемого в форме:

$$H_z = H(R) + H_4(R) \cdot \cos[\beta_4(R) - 4\varphi] + H_8(R) \cdot \cos[\beta_8(R) - 8\varphi],$$

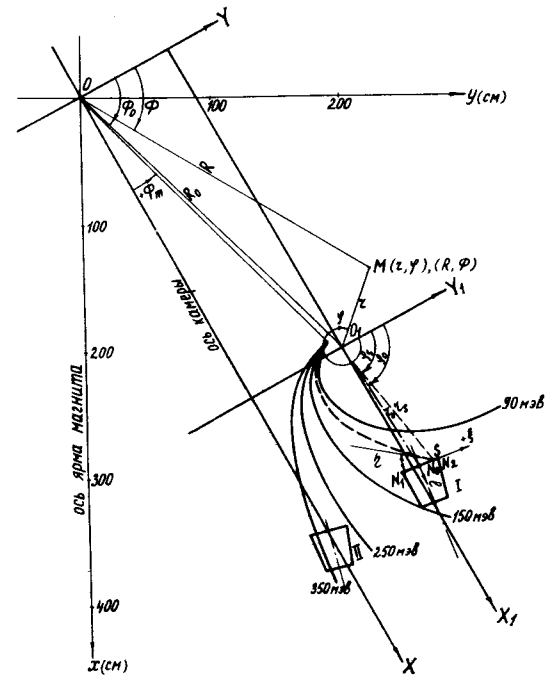
где  $R, \varphi$  – полярные координаты системы, связанной с центром ускорителя /точка 0 (0,0) на рис.2/,  $H(R)$  – среднее значение поля,  $H_4, H_8, \beta_4, \beta_8$  – амплитуды гармоник и их фазы, заданные в виде таблицы.

На рис.2 приведены характерные траектории  $\bar{\pi}$ -мезонов, образованных на внутренней мишени при прямой полярности поля. Видно, что для малых энергий, траектории мезонов имеют экстремум ( $\frac{dR}{d\varphi} \rightarrow \infty$ ).



1. Схема канала пучков установки "Ф".

4



2. Системы координат, используемые для расчета траекторий пионов.

Так как для расчета на ЭВМ необходимо монотонное изменение независимой переменной, то перейдем к новой системе отсчета и примем в качестве центра полярной системы координат  $(r, \varphi)$  точку  $O_1(R_0, \Phi_0)$ . Уравнения движения заряженных частиц с постоянным импульсом  $P_x$  в цилиндрической системе координат  $(r, \varphi, z)$  имеют вид:

$$z'' - \frac{z'^2}{z} - z = \gamma r^2 [1 + (\frac{z'}{z})^2 + (\frac{z'}{z})^2]^{1/2} \left\{ (1 + \frac{z'^2}{z^2}) H_z - \frac{1}{z} \frac{\partial H_z}{\partial z} \frac{z^2}{2} - \frac{\partial H_z}{\partial \varphi} \frac{z z'}{z^2} \right\},$$

$$z'' - \frac{z z' z'}{z} = \gamma r^2 [1 + (\frac{z'}{z})^2 + (\frac{z'}{z})^2]^{1/2} \left\{ \frac{\partial H_z}{\partial \varphi} \frac{z' z}{z^2} - \frac{\partial H_z}{\partial z} z + H_z \frac{z' z'}{z^2} \right\}, \quad (I)$$

$$\text{где } \gamma = \frac{1}{P_x \cdot c}.$$

Найдем связь между координатами  $(R, \Phi)$  и  $(r, \varphi)$  и производными поля  $(\frac{\partial H_z}{\partial \varphi}, \frac{\partial H_z}{\partial \varphi})$  и  $(\frac{\partial H_z}{\partial z}, \frac{\partial H_z}{\partial z})$ . Используя очевидные соотношения

$$R \cdot \cos \Phi = R_0 \cdot \cos \Phi_0 + r \cdot \cos \varphi,$$

$$R \cdot \sin \Phi = R_0 \cdot \sin \Phi_0 + r \cdot \sin \varphi,$$

получим

$$\Phi = \arctg \frac{R_0 \cdot \sin \Phi_0 + r \cdot \sin \varphi}{R_0 \cdot \cos \Phi_0 + r \cdot \cos \varphi},$$

$$R = \frac{R_0 \cdot \cos \Phi_0 + r \cdot \cos \varphi}{\cos \Phi},$$

$$\frac{\partial r}{\partial \varphi} = \frac{z \cdot R \cdot \sin(\varphi - \varphi) - \frac{\partial R}{\partial \varphi} \cdot z \cdot \cos(\varphi - \varphi)}{\frac{\partial R}{\partial \varphi} \cdot \sin(\varphi - \varphi) - R \cdot \cos(\varphi - \varphi)}.$$

Производные поля  $H_z(R, \Phi)$  по координатам  $r$  и  $\varphi$  определяются выражениями:

$$\frac{\partial H_z}{\partial z} = \frac{\partial H_z}{\partial R} \cdot \frac{\partial R}{\partial z} + \frac{\partial H_z}{\partial \varphi} \cdot \frac{\partial \varphi}{\partial z}, \quad (2)$$

$$\frac{\partial H_z}{\partial \varphi} = \frac{\partial H_z}{\partial R} \cdot \frac{\partial R}{\partial \varphi} + \frac{\partial H_z}{\partial \varphi} \cdot \frac{\partial \varphi}{\partial \varphi},$$

где

$$\frac{\partial \varphi}{\partial \varphi} = \frac{1}{R} \frac{\partial r}{\partial \varphi} \cdot \sin(\varphi - \Phi) + \frac{z}{R} \cdot \cos(\varphi - \Phi),$$

$$\frac{\partial R}{\partial z} = \frac{z - R \frac{\partial \varphi}{\partial \varphi} \cdot \cos(\varphi - \Phi)}{z \cdot \cos(\varphi - \Phi) - R \frac{\partial \varphi}{\partial \varphi}},$$

$$\frac{\partial R}{\partial \varphi} = \frac{\partial r}{\partial \varphi} \cdot \cos(\varphi - \Phi) + z \sin(\Phi - \varphi),$$

$$\frac{\partial \varphi}{\partial z} = \frac{1}{R \cdot \sin(\Phi - \varphi)} \cdot [\frac{\partial R}{\partial z} \cdot \cos(\Phi - \varphi) - 1].$$

Производные  $\frac{\partial H_z}{\partial z}$  и  $\frac{\partial H_z}{\partial \varphi}$  определяются численным дифференцированием с помощью алгоритма *dfint*<sup>15/</sup>.

Для транспортировки частиц через мезонные каналы необходимо знать эмиттансы пучка на их входах в системе координат, связанной с осями этих каналов. На рис.2 показаны первые элементы мезонных трактов – направляющие магниты и система координат  $(\xi, \ell)$ , связанная с осью первого канала. Угол входа траектории в магнит<sup>16/</sup>  $\xi' = \frac{d\xi}{d\ell} = (\frac{\xi}{\ell} - \beta)$ , где  $\beta$  – есть угол между прямой, проходящей через точки  $N_1(r_1, \varphi_1)$  и  $N_2(r_2, \varphi_2)$ , определяющие границы апертуры магнита, и касательной к траектории частицы в точке ее пересечения  $S(z_s, \varphi_s)$  с прямой  $N_1 N_2$ .

Уравнение прямой, проходящей через  $N_1 N_2$  в полярной системе координат:

$$r_1 z_2 \sin(\varphi_2 - \varphi) - r_2 z_1 \sin(\varphi_1 - \varphi) - r_1 z_1 \sin(\varphi_1 - \varphi) = 0, \quad (3)$$

тогда уравнение касательной к траектории мезонов в точке  $S$ дается выражением:

$$r \cos \varphi - z_s \cos \varphi_s = \left( \frac{dY}{dX} \right)_S \cdot (r \cdot \sin \varphi - z_s \sin \varphi_s), \quad (4)$$

$$\text{где } \left( \frac{\partial Y_1}{\partial X_1} \right)_S = \frac{\left( \frac{\partial r}{\partial \varphi} \right)_S \cdot \cos \varphi_S - z_S \cdot \sin \varphi_S}{\left( \frac{\partial r}{\partial \varphi} \right)_S \cdot \sin \varphi_S + z_S \cdot \cos \varphi_S}$$

Легко найти угол  $\beta$  между пересекающимися прямыми с уравнениями (3) и (4):

$$\beta = \arctg \frac{(r_2 \cos \varphi_2 - z_2 \cos \varphi_1) - \left( \frac{\partial Y_1}{\partial X_1} \right)_S (r_2 \sin \varphi_2 - z_2 \sin \varphi_1)}{(r_2 \cos \varphi_2 - z_2 \cos \varphi_1) \cdot \left( \frac{\partial Y_1}{\partial X_1} \right)_S + (r_2 \sin \varphi_2 - z_2 \sin \varphi_1)}. \quad (5)$$

Координата входа  $\xi$  частицы в тракт расчитывается из равенства:

$$\xi = \sqrt{z_0^2 + z_S^2 - 2 z_0 z_S \cos(\varphi_0 - \varphi_S)}, \quad (6)$$

где координаты  $z_0, \varphi_0$  определяют точку пересечения № оси канала с прямой  $N, N_2$ .

Используя уравнения (1), (5) и (6), с помощью ЭВМ вычисляются координаты и наклон траекторий на входе в канал пинонов разных энергий, вылетающих под разными углами  $\alpha$  относительно пучка протонов из мишени, расположенной на разных азимутах.

### 3. Энергетический интервал $\pi^-$ -мезонов, попадающих на вход каналов I и II

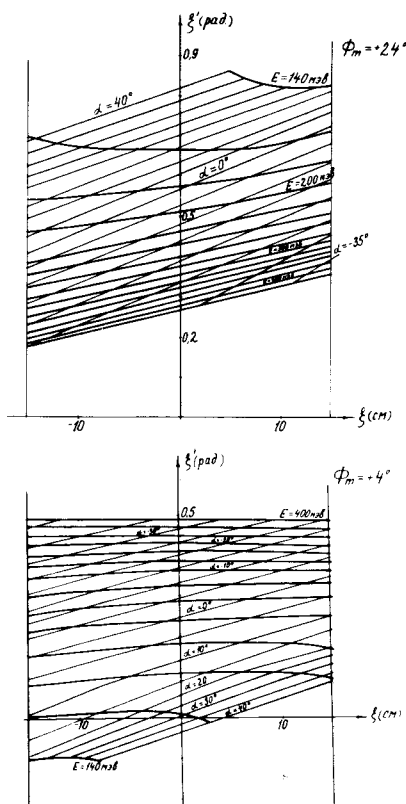
Расчет траекторий частиц, вылетающих из мезонообразующей мишени был проведен на ЭВМ БЭСМ-6 и СДС 6200. Так как величина заброса протонного пучка на внутреннюю мишень составляет  $\sim (1-2) \text{ м}$ , источник мезонов в плоскости  $(z, \varphi)$  предполагался точечным. Была произведена оценка по  $\sim 4000$  траекторий в горизонтальной плоскости /при  $z=0$ / для диапазона энергий  $E_{\pi^-} = (80+420) \text{ МэВ}$ , при углах вылета из мишени  $\alpha = (-40^\circ + 40^\circ)$  и азимутальных положениях мишени внутри камеры  $\Phi_m = (-24^\circ + 32^\circ)$  для равновесной орбиты, соответствующей  $R_p = 270 \text{ см}$ , при прямой и обратной полярностях поля ускорителя (шаг по энергии

составлял 20 МэВ, по углам вылета  $-5^\circ$ , по азимуту  $-4^\circ$ ). Из всего набора частиц выбирались лишь те, координаты которых находились внутри апертуры каналов.

Для систематизации полученных результатов были построены зависимости  $\xi'$  от  $\xi$  в горизонтальной плоскости на входе в каналы I и II (рис. I) при различных условиях образования мезонов в мишени ( $E, \alpha, \Phi_m$ ). На рис. 3 для примера показаны такие диаграммы для первого канала при прямой ( $\Phi_m = +24^\circ$ ) и обратной ( $\Phi_m = +4^\circ$ ) полярностях поля ускорителя. Видно, что при прямой полярности частицы с меньшей энергией имеют большие углы входа в тракт, а при обратной — такие углы входа в тракт соответствуют малым энергиям. Из диаграмм (см. рис. 3) для каждого положения мишени были найдены диапазоны энергий  $\pi^-$ -мезонов, попадающих на входы I и II каналов (рис. 4). Минимальная энергия на входе как первого, так и второго каналов составляет  $\sim 100 \text{ МэВ}$ . Существует область азимутов  $\Phi_m = (+20^\circ + 24^\circ)$  при прямой полярности поля ускорителя и  $\Phi_m = (-12^\circ + 0^\circ)$  при обратной, где  $\pi^-$ -мезоны попадают на входы обоих каналов одновременно.

### 4. Исследование оптических и дисперсионных свойств магнитного поля ускорителя

Кривые (рис. 3) дают представление об оптических и дисперсионных свойствах магнитного поля фазotronа. В качестве оптической характеристики может быть использована величина  $\frac{d\alpha L}{d\xi}$ , определенная в работе /7/ (L — расстояние от мишени до входа в тракт вдоль траектории,  $d\xi$  — приращение координаты входа траектории в канал при изменении угла вылета мезонов



3. Значения координат траекторий и углов их наклона ( $\xi, \xi'$ ) в горизонтальной фазовой плоскости на входе в канал для различных значений энергии  $E$ , углов вылета  $\alpha$  и положений мишени  $\Phi_m=24^\circ$  (прямая полярность),  $\Phi_m=4^\circ$  (обратная).

из мишени на  $\Delta\alpha$ ). Если  $\frac{\Delta\alpha \cdot L}{4\xi'} > 1$ , то пучок фокусируется, если  $\frac{\Delta\alpha \cdot L}{4\xi'} < 1$ , то имеет место дефокусировка. Оптическое действие поля на пучок зависит от положения мишени по радиусу и азимуту, энергии рождающихся частиц и углов вылета из мишени. Расчеты показали, что величина  $\frac{\Delta\alpha \cdot L}{4\xi'}$  в горизонтальной плоскости составляет  $\sim (1,8 \div 2,5)$ , а в вертикальной  $\sim (0,7 \div 0,8)$ .

Анализирующее действие магнитного поля фазotronа отчетливо видно из кривых рис.3: траектории, соответствующие разным энергиям, разделяются. Введем характеристики:  $\frac{\Delta E}{\Delta\xi'}$  ( $\Delta\xi'$  – изменение угла на входе в канал между траекториями мезонов, энергии которых отличаются на  $\Delta E$ ) – энергетическое разрешение и  $\frac{\Delta\xi'}{\Delta\alpha}$  ( $\Delta\alpha$  – изменение угла вылета частиц из мишени) – угловая дисперсия. Эти характеристики особенно важны для второго канала пионных пучков, основное назначение которого – получение хорошего разрешения ( $\sim$  нескольких МэВ) в широком диапазоне импульсов<sup>3/</sup>. Величины  $\frac{\Delta E}{\Delta\xi'}$  и  $\frac{\Delta\xi'}{\Delta\alpha}$  рассчитывались для разных положений мишени. Энергетическое разрешение сильно зависит от энергии, например, для прямой полярности поля ускорителя при  $E_{\text{ф}}=200$  МэВ во втором канале  $\frac{\Delta E}{\Delta\xi'} \approx 250$  МэВ/рад ( $\Phi_m=+24^\circ$ ), а при  $E_{\text{ф}}=400$  МэВ,  $\frac{\Delta E}{\Delta\xi'} \approx 660$  МэВ/рад, то есть при увеличении энергии в два раза энергетическое разрешение увеличивается приблизительно в два с половиной раза. Этот вывод справедлив и для обратной полярности поля ускорителя.

Угловая дисперсия  $\frac{\Delta\xi'}{\Delta\alpha}$ , обусловленная различием в длине пути, проходимого частицами в магнитном поле, приводит к хроматической aberrации. Устранение ее является одним из условий получения хорошего разрешения в канале II. Угловая дисперсия  $\frac{\Delta\xi'}{\Delta\alpha}$ , так же, как и  $\frac{\Delta E}{\Delta\xi'}$ , зависит от азимута мишени, энергии и углов вылета частиц.

Проведенные оценки величины  $\frac{d\sigma}{d\Omega}$  на входе второго мезонного канала показали, что  $\frac{d\sigma}{d\Omega}$  всегда меньше единицы, то есть расходимость пучка уменьшается. Кроме того, существуют положения мишени, где угловая дисперсия очень мала ( $\leq 0,05$ ), например, для  $E_{\pi} = 200 \text{ МэВ}$  это соответствует азимуту мишени  $\varphi_m = \pm 12^\circ$ , для  $E_{\pi} = 300 \text{ МэВ}$  -  $\varphi_m = \pm 20^\circ$ , для  $E_{\pi} = 4000 \text{ МэВ}$  -  $\varphi_m = 24^\circ$ .

##### 5. Оценка интенсивности отрицательных пионов на выходе из первого мезонного канала

Интенсивность  $\pi^-$ -мезонов может быть определена по следующей формуле:

$$N_{\pi} = i_p \cdot K \cdot n_{\pi} \cdot e^{-\frac{L_k}{\lambda(E_{\pi})}} \cdot \frac{d^2\sigma(d_{\pi}, E_{\pi})}{dE_{\pi} \cdot d\Omega_{\pi}} \cdot \Delta E_{\pi}(d_{\pi}) \cdot \Delta\Omega(d_{\pi}).$$

$i_p$  - ток протонов,

$K$  - кратность прохождения протонов через мишень,

$n_{\pi}$  - число ядер в мишени,

$\Delta E_{\pi}$  - энергетический интервал, в котором пионы захватываются каналом,

$\Delta\Omega$  - телесный угол захвата мезонов из мишени в канал,

$L_k$  - длина канала от мишени до выхода из канала,

$\lambda$  - длина распада,

$\frac{d^2\sigma}{dE \cdot d\Omega}$  - дифференциальное сечение.

В качестве примера оценим интенсивность пионов из канала для мишени из бериллия толщиной  $t = 8 \text{ г/см}^2$ . Тогда  $n_{\pi} = 0,54 \cdot 10^{23}$  ядер/см $^2$ ,  $\lambda = 5,59 \text{ cm}$ . Для  $i_p = 50 \mu\text{A}$ ,  $i_p \cdot K = 0,62 \cdot 10^{15}$  частиц ( $k \sim 2$ ). Длина канала  $L_k = 22,1 \text{ м}$ . Величина  $\Delta E_{\pi}$  определяется разрешением анализирующего магнита, расположенного на выходе жестко-

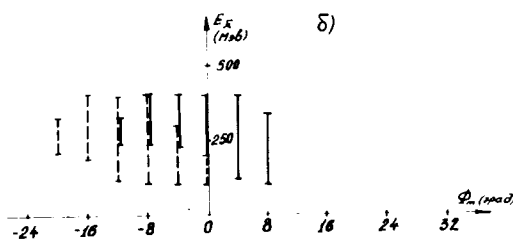
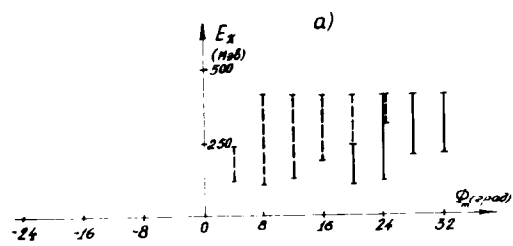
фокусирующего тракта, которое приблизительно равно  $\frac{\Delta P}{P} \approx 10\%$ <sup>8/</sup>. Дифференциальные сечения взяты из работы<sup>9/</sup>.

Телесный угол захвата  $\Delta\Omega$  в первый мезонный канал определяется аксептантом жесткофокусирующего канала. На рис.5 показаны рассчитанные аксептансы первого канала при градиентах в линзах  $G = 500 \text{ Гс/см}$  для энергий мезонов 100, 200, 300 и 400 МэВ. Использовались параметры канала, приведенные в работе<sup>8/</sup>. Преобразовывая эллипсы на вход магнита при оптимальном поле в нем для каждой энергии и накладывая их на диаграммы, подобные рис.3, получим диапазон радиальных углов вылета  $\Delta\alpha_2(E_{\pi}, \varphi_m)$ , которые захватываются в жесткофокусирующий канал. Для этих радиальных углов вылета рассчитывался массив траекторий с учетом  $\pi^-$ -движения, попадающих на вход канала и лежащих внутри его аксептанса в вертикальной плоскости. Это позволило определить углы захвата  $\Delta\alpha_2(E_{\pi}, \varphi_m)$ . Полный телесный угол определяется соотношением

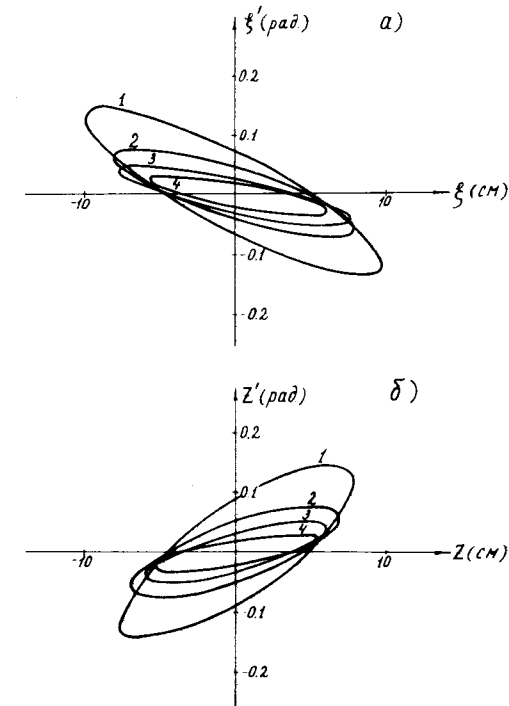
$$\Delta\Omega = \pi \cdot \Delta\alpha_2(E_{\pi}, \varphi_m) \cdot \Delta\alpha_2(E_{\pi}, \varphi_m).$$

На рис.6 показаны рассчитанные кривые интенсивности  $\pi^-$ -мезонов на выходе из первого канала при градиентах в линзах  $G = 500 \text{ Гс/см}$  в зависимости от азимута мишени для энергий (100 + 400) МэВ при прямой и обратной полярностях магнитного поля ускорителя. Максимальная полученная интенсивность составляет  $\sim 8,8 \cdot 10^7$  частиц/сек для энергии  $E_{\pi} = 200 \text{ МэВ}$ .

Ранее было показано /рис.4/, что диапазон энергий на входе первого канала как при прямой, так и при обратной полярности магнитного поля ускорителя приблизительно одинаков - от 100 МэВ до 400 МэВ при изменении азимута. Однако, как видно из рис.6, захватываются в канал при прямой полярности поля ускорителя только частицы с энергией  $E_{\pi} \geq 200 \text{ МэВ}$ , при обратной -  $E_{\pi} \leq 300 \text{ МэВ}$ .

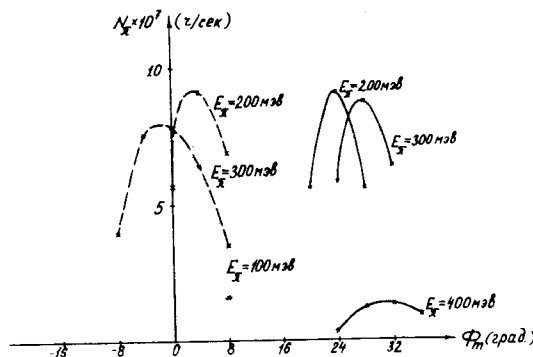


4. Диапазон энергий частиц, попадающих на вход мезонных каналов I(сплошная линия) и II(пунктирная линия), для: а)прямой и б)обратной полярности поля ускорителя в зависимости от азимута  $\Phi_m$ .



5. Аксептансы жесткофокусирующего мезонного тракта в горизонтальной и вертикальной плоскостях для: 1)  $E=100$  МэВ, 2)  $E=200$  МэВ, 3)  $E=300$  МэВ, 4)  $E=400$  МэВ.

В работе<sup>/3/</sup>, используя экспериментальные данные для синхроциклотрона путем приведения их к параметрам фазотрона, получена интенсивность  $\pi^-$ -мезонов в первом канале  $N_{\pi} \approx 6,6 \cdot 10^7$  частиц/сек для энергии  $E_{\pi} \approx 300$  МэВ. Это хорошо согласуется с рассчитанной в данной работе величиной  $N_{\pi} \approx (6 + 8) \cdot 10^7$  частиц/сек.



6. Интенсивность  $\pi^-$ -мезонов в первом канале при прямой (сплошная линия) и обратной (штрих-пунктир) полярности поля ускорителя в зависимости от азимута мишени.

### ЗАКЛЮЧЕНИЕ

В заключение можно сделать следующие основные выводы:

- I. Интервал азимутов расположения мишени, в котором пионы попадают на входы первого и второго каналов составляет  $(-20+32)^0$ .
2. При азимутальных положениях мишени  $\varPhi_m = +20^0, +24^0$  для прямой полярности поля ускорителя и  $\varPhi_m = (0 + -12)^0$  – для обратной, возможна одновременная работа на мезонных каналах I и II.
3. Для режима работы жесткофокусирующего канала  $f = 500$  гс/см максимальная интенсивность наблюдается для энергии пионов  $E_{\pi} \approx 200$  МэВ как при прямой полярности поля ускорителя, так и при обратной и составляет  $\sim 8,6 \cdot 10^7$  частиц/сек.

## ЛИТЕРАТУРА

1. А.А.Глазов, Ю.Н.Денисов, В.П.Джелепов, В.П.Дмитриевский, Б.И.Замолодчиков, Н.Л.Заплатин, В.В.Кольга, М.М.Комочков, А.А.Кропин, Л.И.Лапидус, А.И.Мухин, В.С.Роганов. ОИЯИ, 9-32II, Дубна, 1967.
2. А.В.Демьянов, В.П.Джелепов, Б.И.Замолодчиков, А.А.Кропин, В.С.Роганов. ОИЯИ, 9-8270, дубна, 1974.
3. А.В.Демьянов, В.П.Джелепов, Б.И.Замолодчиков, А.А.Кропин, В.С.Роганов. ОИЯИ, 9-8222, Дубна, 1974.
4. Ю.Г.Аленицкий, С.Б.Ворожцов, Н.Л.Заплатин, Л.К.Лыткин. ОИЯИ, 9-5246, дубна, 1970.
5. М.И.Агеев, В.П.Алик, Л.В.Малюк, Ю.И.Марков. Сборник алгоритмов . ВЦ АН СССР, М., 1966.
6. Л.Штейфен "Оптика пучков высоких энергий".  
М., Мир, 1969.
7. В.Г.Кириллов-Угрюмов, А.А.Кропин, В.С.Роганов, А.В.Самойлов.  
ОИЯИ, Р-663, Дубна, 1960.
8. А.В.Демьянов, А.А.Кропин, В.С.Роганов. ОИЯИ, I-4156, 1968.
9. D.R.F.Cochran et al. Phys.Rev., D 6, № 11, 3085 (1972).

Рукопись поступила в издательский отдел  
18 июля 1975 года.